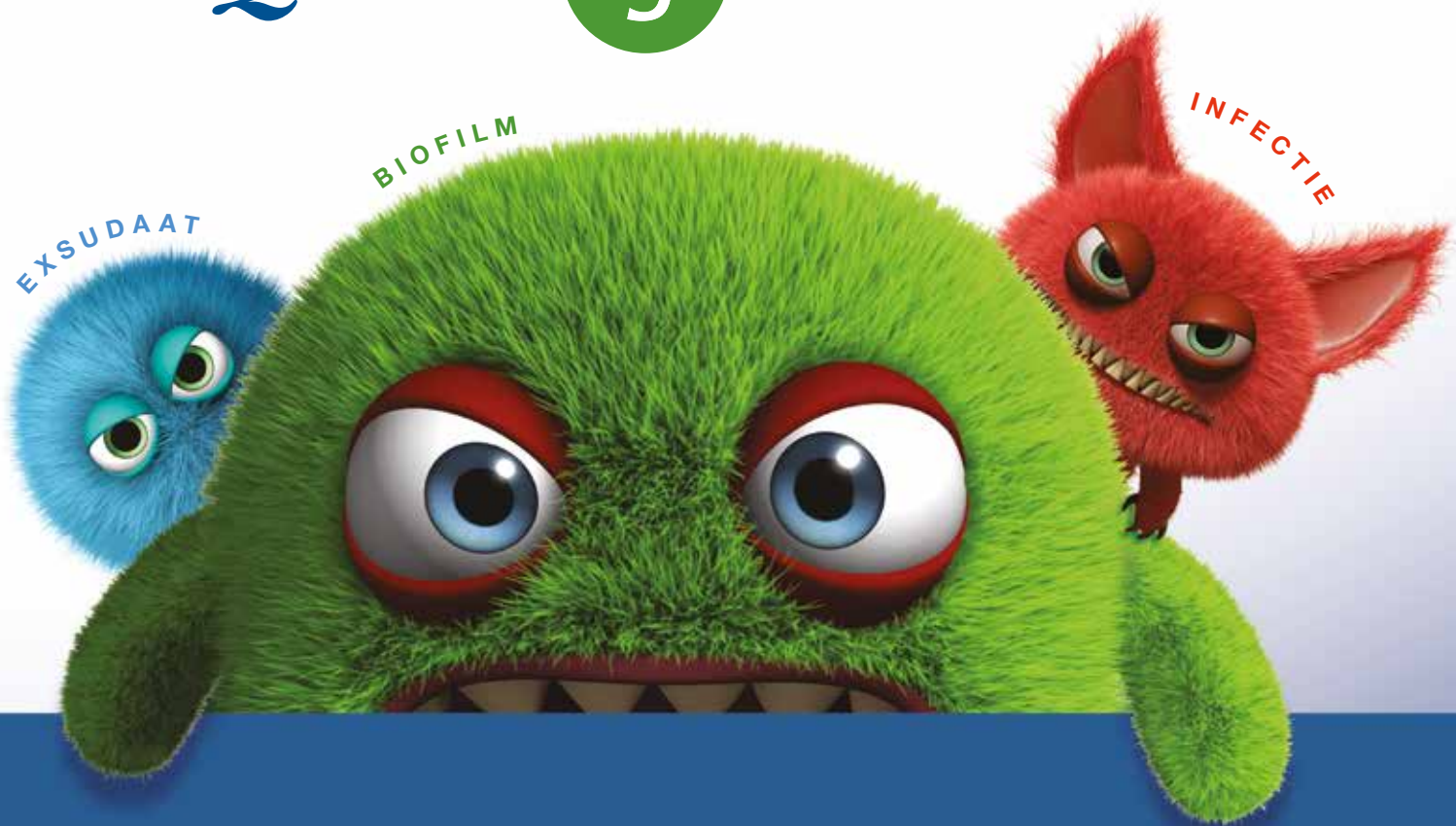


Ga de confrontatie aan met biofilm!

AQUACEL® Ag+ Verbanden



Praktijkgerichte evaluatie van 113 klinische situaties van
kritisch gekoloniseerde of geïnfecteerde wonden:¹
74% had vermoedelijk biofilm.

Toen AQUACEL® AG+ verband werd opgenomen in het zorgprotocol:*

95% van de wonden
verbeterde of
genas.

73% gemiddelde
afname van
wondgrootte.

Door AQUACEL® Ag+ verband als primair verband te gebruiken kunnen chronische wonden herstellen en kan een kostenbesparing gerealiseerd worden (gebaseerd op het inzetten van een gepubliceerd wondgenezings besparingsprotocol)^{1,2**}



Synergie tussen twee krachtige technologieën om de belangrijkste barrières van wondgenezing te managen

Ag+ Technologie

onderscheid zich door een uniek, zilver bevattende anti-biofilm formulering:³

Verstoort en **vernietigt** de slijmerige biofilm-massa en legt de bacterie bloot^{*4-6}

Doodt een breed scala aan bacteriën, inclusief antibiotica resistente bacteriën dankzij aanwezige zilvervoorraad.^{*5,6,7}

Voorkomt reformatie van biofilm.^{*5,6}

* zoals aangetoond *in-vitro*.

Hydrofiber® Technologie

helpt een ideale situatie te creëren voor genezing en om de Ag+ Technologie zijn werk te laten doen.

Sluit in overvloedig exsudaat, bacteriën en biofilm om kruisbesmetting tot een minimum te beperken en maceratie te voorkomen.^{*8-13}

Sluit naadloos aan op het wondbed om vochtbalans optimaal te houden en dode plekken, waar bacteriën en biofilm kunnen groeien, te voorkomen.^{*14-16}

Reageert op de wondsituatie door een samenhangende gel te vormen en tegelijkertijd de pijn bij verbandwissels zoveel mogelijk te beperken^{*17-19}

Ideale combinatie

AQUACEL® Ag+ Verbanden



AQUACEL® Foam

Formaat in cm	Verpakt per	Bestelnummer	Z-index nummer
AQUACEL® Ag+ Extra			
5 cm x 5 cm	10	413566	15964191
10 cm x 10 cm	10	413567	15964205
15 cm x 15 cm	5	413568	15964213
20 cm x 30 cm	5	413569	15964221
AQUACEL® Ag+ Streng*			
1 cm x 45 cm	5	413570	15964248
2 cm x 45 cm	5	413571	15964256

* met versterkende vezels

Formaat in cm	Verpakt per	Bestelnummer	Z-index nummer
Met kleefrand			
8 cm x 8 cm	10	420804	15831124
10 cm x 10 cm	10	420680	15777936
12.5 cm x 12.5 cm	10	420619	15777006
17.5 cm x 17.5 cm	10	420621	15777014
21 cm x 21 cm	5	420623	15777022
25 cm x 30 cm	5	420624	15777030
19.8 cm x 14 cm (allround)	5	420625	15776980
20 cm x 16.9 cm (sacraal)	5	420626	15776999
Zonder kleefrand			
5 cm x 5 cm	10	420631	15777154
10 cm x 10 cm	10	420633	15777162
10 cm x 20 cm	5	421156	16077857
15 cm x 15 cm	5	420635	15777170
20 cm x 20 cm	5	420636	15777189
15 cm x 20 cm	5	420637	15777197

1. Walker M.; Metcalf D.; Parsons, D.; Bowler P. A real-life clinical evaluation of a next-generation antimicrobial dressing on acute and chronic wounds. Journal of Wound Care 2015; 24:1, 11-22. 2. Harding, K., Posnett, J., Vowden, K (2012). A new methodology for costing wound care. Int Wound J 2012; 10: 6, 623-629. 3. Composition comprising antimicrobial metal ions and a quaternary cationic surfactant. Scientific Background Report. WO 2012136968 A1, 2012, Data on file, ConvaTec Inc. 4. Physical Disruption of Biofilm by AQUACEL® Ag+ Wound Dressing. Scientific Background Report. WHRI3850 MA232, 2013, Data on file, ConvaTec Inc. 5. Antimicrobial activity and prevention of biofilm reformation by AQUACEL™ Ag+ EXTRA dressing. Scientific Background Report. WHRI3857 MA236, 2013, Data on file, ConvaTec Inc. 6. Antimicrobial activity against CA-MRSA and prevention of biofilm reformation by AQUACEL™ Ag+ EXTRA dressing. Scientific Background Report. WHRI3875 MA239, 2013, Data on file, ConvaTec Inc. 7. Bowler PG, Welsby S, Towers V, Booth V, Hogarth A, Rowlands V, Joseph A, et al, 2012. Multidrug-resistant organisms, wounds and topical antimicrobial protection. Int Wound J. 9: 387-8. Newman GR, Walker M, Hobot JA, Bowler PG, 2006. Visualisation of bacterial sequestration and bacterial activity within hydrating Hydrofiber™ wound dressings. Biomaterials; 27: 1129-1139. 9. Walker M, Hobot JA, Newman GR, Bowler PG, 2003. Scanning electron microscopic examination of bacterial immobilization in a carboxymethyl cellulose (AQUACEL™) and alginate dressing. Biomaterials; 24: 883-890. 10. Bowler PG, Jones SA, Davies BJ, Coyle E, 1999. Infection control properties of some wound dressings. J. Wound Care; 8: 499-502. 11. Walker M, Bowler PG, Cochrane CA, 2007. In vitro studies to show sequestration of matrix metalloproteinases by silver-containing wound care products. Ostomy/Wound Management. 2007; 53: 18-25. 12. Walker M and Parsons D, 2010. Hydrofiber Technology: its role in exudate management. Wounds UK; 6: 31-38. 13. Parsons D, Bowler PG, Myles V, Jones SA, 2005 Silver antimicrobial dressings in wound management: A comparison of antibacterial, physical and chemical characteristics. WOUNDS; 17: 222-232. 14. Jones SA, Bowler PG, Walker M, 2005. Antimicrobial activity of silver-containing dressings is influenced by dressing conformability with a wound surface. WOUNDS; 17: 263-270. 15. Bowler P, Jones S, Towers V, Booth R, Parsons D, Walker M, 2010. Dressing conformability and silver-containing wound dressings. Wounds UK; 6: 14-20. 16. Walker M, Jones S, Parsons D, Booth R, Cochrane C, Bowler P, 2011. Evaluation of low-adherent antimicrobial dressings. Wounds UK; 7: 32-45. 17. Barnea Y, Amir A, Leshem D, Zaretski A, Weiss J, Shafir R, et al, 2004. Clinical comparative study of Aquacel and paraffin gauze dressing for split-skin donor site treatment. Ann Plast Surg; 53: 132-136. 18. Kogan L, Moldavsky M, Szvalb S, Govrin-Yehudain J, 2004. Comparative study of Aquacel and Silverol treatment in burns. Ann Burns Fire Disasters; 17: 201-207. 19. Brunner U, Eberlein T, 2000. Experiences with hydrofibres in the moist treatment of chronic wounds, in particular of diabetic foot. VASA; 29: 253-257.

*Average management period of 4.1 weeks **Prices based on UK NHS Prices 2008/9, Drug Tariff November 2009 and BNF September 2009.



Voor meer informatie:
www.convatec.nl
of bel 0800-0224460 (gratis).

